

8. Жирников Б. Л., Петров К. И. Исследование взаимодействия со встречным потоком струй, вытекающих из лобовой поверхности тела вращения // Современные проблемы аэромеханики.— М.: Машиностроение, 1987.
9. Брагинский С. И. Явления переноса в плазме // Вопросы теории плазмы. — М.: Госатомиздат, 1963.— Вып. 1.

г. Днепропетровск

Поступила 15/V 1989 г.,  
в окончательном варианте — 10/VII 1989 г.

УДК 538.323 : 531.551

Т. Г. Власова, С. Р. Петров

## КПД И НАГРЕВ ПРОВОДНИКОВ В МНОГОКАСКАДНОМ ИНДУКЦИОННОМ УСКОРИТЕЛЕ

Известный способ получения высоких скоростей для макротел — разгон проводников в электромагнитных ускорителях: контактных (рельсовых) и бесконтактных (индукционных). В последнее время возрос интерес к многоascadeным индукционным ускорителям с ускоряющими катушками в виде соленоидов, которые позволяют эффективно разгонять тела относительно большой массы при ограниченных токах в цепях ускорителя и механических нагрузках. Благодаря отсутствию сильноточных скользящих контактов индукционные ускорители обладают относительно высоким КПД, большим ресурсом работы и позволяют разгонять тела как из обычных проводниковых материалов [1], так и сверхпроводниковых [2]. Авторами [3] проведены расчеты электромагнитного ускорителя в виде линейного асинхронного двигателя с соленоидными обмотками, питаемыми от трехфазной сети переменного тока, с помощью которого тела массой 1 кг предполагается разгонять до 10 км/с. Для этого, однако, потребуется источник трехфазного тока мощностью 100 ГВт. В [4] разработана математическая модель многоascadeного индукционного ускорителя с ускоряющими катушками, питаемыми от конденсаторных батарей, и экспериментально исследован физический макет.

В настоящей работе проанализированы электромагнитные процессы, энергетические соотношения и нагрев проводников в многоascadeном ускорителе с магнито-связанными катушками, питаемыми от конденсаторов, определены оптимальные параметры ускорителя и достижимые скорости метания.

**1. «Коэффициент идеальности» электромагнитного ускорителя.** При анализе процессов в электромагнитных ускорителях особый интерес представляют вопросы достижения максимального КПД, определяемого отношением приращения кинетической энергии проводника  $W$  к начальной энергии, накопленной в источнике питания  $W_0$ :

$$(1) \quad \eta = W/W_0,$$

и максимальной предельной скорости метания, соответствующей плавлению проводника в результате разогрева вихревыми токами. Очевидно, что наибольшие предельные скорости могут быть достигнуты в том случае, если используемый способ ускорения обеспечивает максимальное отношение кинетической энергии проводника  $W$  по окончании разгона к выделившейся в нем тепловой энергии  $Q$  или, если рассматривается отрезок ускорителя, отношение приращения этих величин  $dW/dQ$ .

Остановимся на идеальном случае разгона плоской магнитной волной «тонкого» листа с электропроводностью при нормальной температуре  $\sigma_0$ . Можно показать, используя, например, методы вариационного исчисления, что наибольшая величина  $dW/dQ$  достигается при равномерном распределении плотности тока по толщине листа и составляет

$$(2) \quad \frac{dW}{dQ} = \frac{1}{2} \mu_0 \Delta \sigma v \frac{1 + H_1/H_0}{1 - H_1/H_0}.$$

Здесь  $H_0$ ,  $H_1$  — напряженность магнитного поля перед и за листом соответственно;  $v$ ,  $\sigma$  — скорость движения листа и его электропроводность при этой скорости.

Характер зависимости  $dW/dQ$  от  $v$  подтверждает известный эмпирический вывод о том, что электромагнитный способ ускорения наиболее

эффективен при разгоне проводников, предварительно ускоренных другим способом. Интегрируя (2) при  $H_1 = 0$  (когда ускоряющая сила максимальна) с учетом соотношения  $\sigma = \sigma_0/(1 + \beta q)$  ( $\beta$  — тепловой коэффициент электропроводности,  $q$  — удельное теплосодержание), найдем

$$(3) \quad \frac{W}{Q} = \frac{1}{2} \beta v^2 [\exp(2\beta v/\Delta\sigma_0\mu_0) - 1]^{-1}.$$

Введем величины, равные отношению достигаемых значений  $dW/dQ$ ,  $W/Q$  в рассматриваемом типе ускорителя к соответствующим значениям, определенным по (2) при  $H_1 = 0$  и по (3):

$$(4) \quad \kappa = \frac{2}{\mu_0\sigma v \Delta} \frac{dW}{dQ};$$

$$(5) \quad K = \frac{2}{\beta v^2} [\exp(2\beta v/\sigma_0\mu_0\Delta) - 1] \frac{W}{Q},$$

которые в дальнейшем будем называть дифференциальным (4) и интегральным (5) «коэффициентами идеальности» электромагнитного ускорителя. Коэффициенты  $\kappa$ ,  $K$  связаны простыми соотношениями с предельной скоростью  $v_*$ , отвечающей плавлению проводника:

$$(6) \quad v_* \simeq \frac{\sigma_0 \mu_0 \Delta}{2\beta} \ln(1 + \beta q_* K),$$

или, если  $\kappa$  остается в процессе ускорения постоянной,

$$(7) \quad v_* \simeq \kappa \frac{\sigma_0 \mu_0 \Delta}{2\beta} \ln(1 + \beta q_*)$$

( $q_*$  — теплосодержание проводника при переходе в жидкую фазу). Равенства (6), (7) точные при равномерном распределении плотности тока по сечению проводника и приближенные при неравномерном. В любом случае в ускорителе, имеющем более высокий «коэффициент идеальности», плавление проводника будет иметь место при более высоких скоростях движения. Например, для случая разгона в простейшем рельсовом ускорителе с шириной рельсов  $b_1$  и расстоянием между ними  $b_2$  пластины с равномерно распределенной по сечению плотностью тока и без учета тепловыделения в контактах получим

$$(8) \quad \kappa = \frac{\alpha}{\pi} \left[ \ln \frac{1}{\alpha} + \frac{\alpha^2 - 1}{2\alpha^2} \ln(1 + \alpha^2) + \frac{2}{\alpha} \operatorname{arctg} \alpha \right] \quad (\alpha = b_1/b_2).$$

При  $\alpha = 0,2 \div 1,0$  из (8) следует  $\kappa = 0,2 \div 0,5$ . Для коаксиального рельсового ускорителя с цилиндрическими внешним и внутренним электродами при тех же допущениях  $\kappa = 1,0$ . Учет неравномерности распределения плотности тока приводит к уменьшению «коэффициента идеальности».

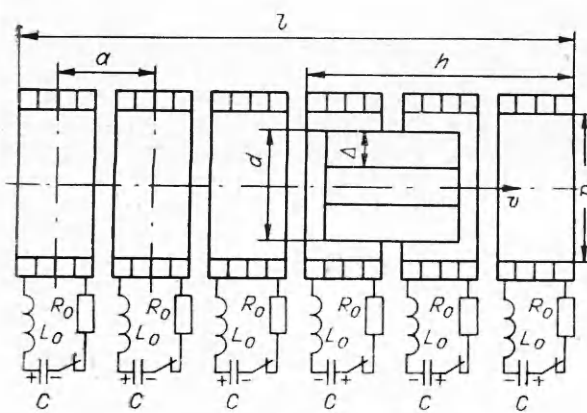


Рис. 1

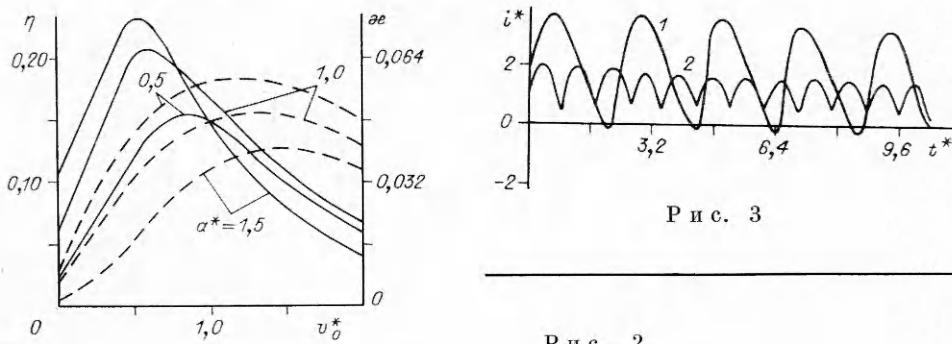
Например, близкий к идеальному способ метания реализуется при разгоне плоских кольцевых проводников в магнитном поле кольцевого индуктора. Используя результаты расчетов процесса ускорения с учетом реального распределения плотности тока в проводнике [5], даже для достаточно тонких проводников ( $\Delta = 10^{-3}$  м)  $K = 0,5 \div 0,6$ . Для ускорителя в виде линейного асинхронного двигателя из результатов [3]  $K = 0,03 \div 0,04$ .

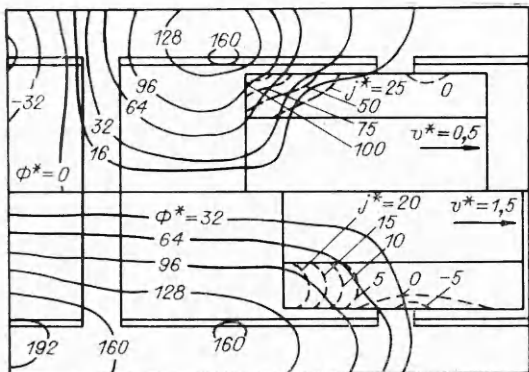
**2. Численный анализ электромагнитных процессов в многокаскадном индукционном ускорителе.** Расчетная схема ускорителя с катушками в виде соленоидов, подключаемых к конденсаторным батареям, изображена на рис. 1. При достаточно близком расположении катушек такой ускоритель удобно рассматривать в виде линии с распределенными параметрами, элементы которой ( $LC$ -контура) связаны индуктивно. Это позволяет ввести погонные (на единицу длины) индуктивность  $L^0$  и емкость  $C^0$  ускорителя [4]:  $C^0 = C/a$ ,  $L^0 = (\pi\mu_0/4)(DN/a)^2$  ( $N$  — число витков катушки). Рассмотрим отрезок ускорителя длиной  $l$ , в котором параметры каждого из каскадов, содержащих ускоряющую катушку, присоединенную через коммутатор к конденсаторной батарее, одинаковы. Все конденсаторы заряжены до равного по абсолютной величине напряжения  $U$ . Для получения общих результатов используем безразмерные параметры, введенные в [4]:

$$\begin{aligned} l^* &= l/D, a^* = a/D, h^* = h/D, d^* = d/D, R^* = R_0 \sqrt{C^0/L^0}, \\ L^* &= L_0/L^0 D, v^* = v \sqrt{L^0 C^0}, \sigma^* = \sigma D \sqrt{L^0/C^0}, \\ \beta^* &= \beta C^0 U^2 / 2D^2, m^* = m/(DL^0(C^0 U)^2), t^* = t/(D \sqrt{C^0 L^0}), \\ i^* &= (i/U) \sqrt{L^0/C^0}, j^* = j(D^2/U) \sqrt{L^0/C^0}, \end{aligned}$$

где  $R_0$ ,  $L_0$  — активное сопротивление и индуктивность соединительных проводов и коммутатора;  $i$ ,  $j$  — ток и плотность тока. Значение остальных параметров поясняет рис. 1. В случаях, не оговоренных особо, расчеты проводились при  $l^* = 24$ ,  $R^* = 0,1$ ,  $L^* = 0,3$ ,  $\sigma^* = 5 \cdot 10^4$ ,  $\beta^* = 0,1$ ,  $m^* = 10$ ,  $d^* = 0,95$ ,  $\Delta/D = 0,75$  ( $\Delta$  — толщина стенки ускоряемого проводника, представляющего собой полый металлический цилиндр). Численный анализ проводился с помощью математической модели на основе метода интегральных уравнений [4]. Сечение проводника разбивалось на  $6 \times 6 = 36$  расчетных контуров. КПД отрезка ускорителя определялся по (1), а «коэффициент идеальности» — по (4), где дифференциалы  $dW$ ,  $dQ$  заменялись соответствующими приращениями  $\Delta W$ ,  $\Delta Q$  за время пролета проводником отрезка ускорителя. Анализировалось влияние на КПД и «коэффициент идеальности» относительных значений скорости влета проводника в отрезок ускорителя  $v_0^*$ , длины отдельного каскада  $a^*$ , диаметра проводника  $d^*$  и длины участка ускорителя  $h^*$ , на котором конденсаторные батареи заряжены с одинаковой полярностью.

На рис. 2 изображены зависимости КПД  $\eta$  и  $\alpha$  от  $v_0^*$  и  $a^*$  при  $h^* = 3$ . Характер зависимостей КПД от скорости влета проводника качественно аналогичен полученным в [6] при анализе однокаскадного ускорителя. Максимальный КПД достигается при  $v_0^* = 0,5 \div 1,0$  и может превышать 0,2. Зависимости «коэффициента идеальности» от  $v_0^*$  также имеют максимум, но более пологий и достигаемый при существенно больших скоростях влета ( $v_0^* = 1,2 \div 1,6$ ). Характер электромагнитных процессов в ускорителе в указанных двух режимах поясняют рис. 3, 4.





Р и с. 4

На рис. 3 изображены зависимости от времени суммарного тока в проводнике  $i^*$  при  $v_0^* = 0,5$  и  $1,5$  (кривые 1 и 2 соответственно). На рис. 4 даны кривые распределения магнитного потока  $\Phi^* = \Phi/DUVL^0C^0$  и плотности тока  $j^*$  по сечению проводника, отвечающие этим же скоростям влета. В случае малых скоростей влета ( $v_0^* < 0,5$ ) в момент влета проводника в очередную катушку ток в катушке предшествующего каскада уменьшается в несколько раз

по сравнению с амплитудным значением. Шунтирование конденсаторных батарей диодами для предотвращения их перезаряда не приводит к заметному изменению характера электромагнитных процессов. Быстрое уменьшение тока в предшествующей катушке происходит и в этом случае за счет ЭДС, индуцируемой в ней при нарастании тока в очередной катушке, подключаемой к конденсаторной батарее. Таким образом, в создании ускоряющего магнитного поля в любой момент времени принимает участие катушка одного каскада (см. рис. 4). Ток в ускоряемом проводнике имеет вид отдельных коротких импульсов, что определяет наличие резкого скип-эффекта, высоких плотностей тока и интенсивного нагрева проводника. С другой стороны, незначительное проникновение магнитного поля в проводник определяет высокий КПД. При  $v_0^* = 1,2 \div 1,6$ , соответствующих максимуму «коэффициента идеальности», в создании ускоряющего поля участвуют одновременно несколько катушек, образуя своего рода длинный соленоид, который за счет коммутаций «перемещается» синхронно с ускоряемым проводником. В результате воздействия на проводник пульсирующего магнитного поля ток в проводнике принимает вид кривой однополярного характера с постоянной составляющей, распределение плотности тока по толщине стенки проводника приближается к равномерному (см. рис. 4), плотность тока и интенсивность нагрева снижаются. При более высоких скоростях влета ( $v_0^* > 1,6$ ) «коэффициент идеальности» уменьшается за счет значительного снижения прироста кинетической энергии проводника, поскольку последний пролетает очередную катушку раньше, чем ток в ней достигнет амплитудного значения. С учетом соотношения (7) из анализа зависимостей на рис. 2 следует, что условия достижения максимального КПД и максимальной предельной скорости существенно отличаются. Наивысшие предельные скорости метания могут быть достигнуты при КПД примерно вдвое меньшим максимально возможного.

Рассмотрим влияние на эффективность работы ускорителя длины отдельного каскада  $a^*$ . При неизменных  $L^0, C^0$  более короткий каскад имеет меньшие индуктивность катушки и емкость конденсаторной батареи, следовательно, более высокую частоту разрядного контура, в связи с чем наибольший КПД достигается при более высоких скоростях движения проводника, а максимальный КПД снижается в связи с возрастанием доли магнитной энергии, теряемой в индуктивностях  $L_0$  (см. рис. 2). С другой стороны, «коэффициент идеальности» в ускорителе с короткими каскадами существенно выше. Расчеты показывают, что при уменьшении  $a^*$  от 1,0 до 0,5 за счет сильной магнитной связи между катушками амплитудное значение тока в проводнике снижается примерно вдвое, что обусловливает значительное уменьшение интенсивности нагрева. В то же время ускоряющая сила остается достаточно высокой, поскольку в короткой катушке преобладает доля усилий, действующих на проводник в осевом направлении. Следствием снижения тока в проводнике при  $a^* < 1$  и  $v_0^* > 1$

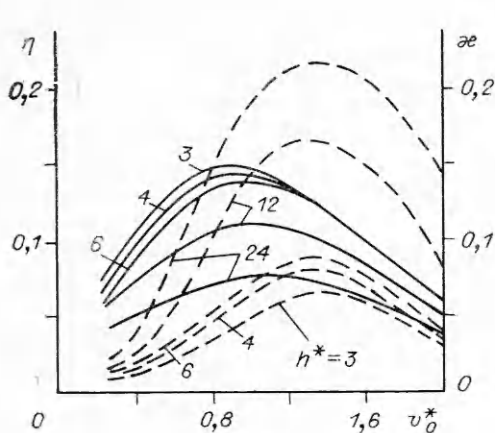


Рис. 5

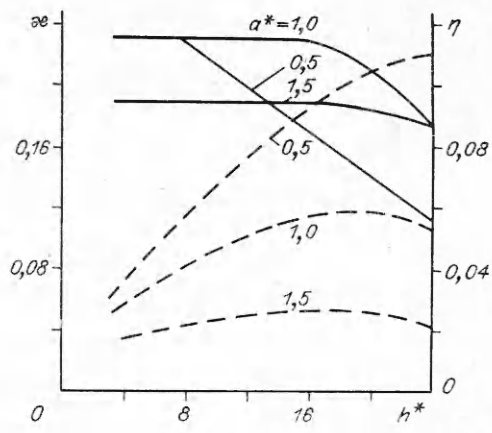


Рис. 6

является также уменьшение обжимающих проводник механических усилий.

Проанализируем влияние на эффективность работы ускорителя смены полярности подключения конденсаторных батарей к катушкам по его длине. Из расчетов вытекает, что при одинаковой полярности подключения батарей амплитуда суммарного тока в ускоряемом проводнике постепенно уменьшается в результате затухания постоянной составляющей (см. рис. 3). Деление анализируемого отрезка ускорителя, например, на два участка с разноименной полярностью подключения батарей позволяет увеличить амплитуду тока в проводнике на 15–20 %, а приращение скорости на отрезке — на 30–40 %. Однако при быстром изменении направления тока в проводнике возникает резкий скин-эффект, возрастает интенсивность нагрева и снижается «коэффициент идеальности». На рис. 5 изображены зависимости КПД и «коэффициента идеальности» (сплошные и штриховые кривые соответственно) от скорости влета проводника  $v_0^*$  и относительной длины участков  $h^*$  с одноименной полярностью подключения батарей. Зависимости рассчитаны при  $a^* = 0,5$ . Из анализа зависимостей видно, что при увеличении  $h^*$  от 3 до 24 значение  $\chi$  возрастает почти вчетверо, а КПД снижается примерно вдвое. На рис. 6 приведены зависимости максимального значения  $\chi$  (штриховые кривые) и достигаемого при этом КПД (сплошные) от  $h^*$ . Характер кривых существенно зависит от  $a^*$ . В режимах, отвечающих максимальному «коэффициенту идеальности», КПД ускорителя лежит в пределах  $\eta = 0,06 \div 0,12$ . При уменьшении  $a^*$  с 1,0 до 0,5 значение  $\chi$  вырастет почти вдвое. В ускорителе с короткими каскадами с ростом  $h^* > 8 \div 10$  КПД быстро падает.

Эффективность преобразования энергии в ускорителе существенно зависит от отношения диаметров проводника и ускоряющих катушек:  $d^* = d/D$ . С увеличением  $d^*$  растут КПД и «коэффициент идеальности». Расчеты показывают, что эти зависимости могут быть выражены приближенными соотношениями  $\eta \sim (d^*)^{2,4 \div 2,6}$ ,  $\chi \sim (d^*)^{1,3 \div 1,4}$ .

Из полученных результатов следует, что «коэффициент идеальности» многокаскадного индукционного ускорителя в зависимости от его параметров и скорости движения проводника может изменяться в пределах  $\chi = 0,06 \div 0,20$ , но оставаться существенно меньше единицы. Причина состоит в неравномерном распределении плотности тока по сечению проводника. В режимах, соответствующих максимальному КПД, ток распределяется резко неравномерно как по длине проводника, так и по толщине его стенки. При реализации режимов с максимальным «коэффициентом идеальности» распределение плотности тока по толщине проводника близко к равномерному, однако и в этом случае ток сосредоточивается в задней торцевой части проводника (см. рис. 4). В результате возрастают

активное сопротивление токового контура в проводнике и интенсивность его нагрева.

В заключение, используя соотношение (7), определим достижимые по условию плавления скорости метания алюминиевого проводника с толщиной стенки  $\Delta = 0,01$  м ( $\sigma_0 = 3,8 \cdot 10^7$  (Ом·м) $^{-1}$ ,  $\beta = 4,42 \cdot 10^{-6}$  кг/Дж,  $q_* = 1,02 \cdot 10^6$  Дж/кг). В режиме максимального КПД ( $\kappa = 0,06 \div 0,08$ )  $v_* = 5 \div 7$  км/с. В режиме максимального «коэффициента идеальности» ( $\kappa = 0,16 \div 0,20$ )  $v_* = 14 \div 16$  км/с.

Итак, предложен критерий («коэффициент идеальности»), позволяющий оценивать эффективность электромагнитного ускорителя проводников или режима его работы с точки зрения достижимых предельных по условию плавления скоростей. Показано, что наибольший КПД достигается в ускорителе с относительной длиной каскадов  $a^* = 1,0 \div 1,5$ , длиной участков одноименной полярности подключения батарей  $h^* \leqslant \leqslant 3 \div 6$ , относительной скоростью движения проводника  $v^* = 0,4 \div 0,8$ ; максимальные предельные по условию плавления скорости метания достигаются в ускорителе с параметрами  $a^* \leqslant 0,5$ ,  $h^* > 10$ ,  $v^* = 1,2 \div 1,6$ .

#### ЛИТЕРАТУРА

- Chilton F., Hibbs B., Kolm H. et al. Electromagnetic mass drivers // Progr. in Astronaut. and Aeronaut.— 1977.— V. 57, N 2.
- O'Neil G. K., Kolm H. High-acceleration mass drivers // Acta Astronaut.— 1980.— V. 7, N 11.
- Driga M. D., Weldon W. F., Woodson I. H. Electromagnetic induction launchers // IEEE Trans. on Magnetics.— 1986.— V. 22, N 6.
- Васильев И. А., Петров С. Р. Численное и экспериментальное исследование много-каскадного индукционного ускорителя проводников // ПМТФ.— 1989.— № 6.
- Балтаханов А. М., Иванов Е. Н. О тепловом ограничении скорости кольцевых проводников при индукционном аксиальном ускорении // ПМТФ.— 1982.— № 6.
- Бондалетов В. И., Иванов Е. Н., Петров С. Р., Тютькин В. А. Исследование эффективности ускорения проводников в импульсном магнитном поле соленоида // ПМТФ.— 1983.— № 2.

г. Истра  
Московской области

Поступила 28/IV 1989 г.,  
в окончательном варианте — 28/VIII 1989 г.

УДК 551.466

B. B. Булатов, Ю. В. Владимиrow

#### БЛИЖНЕЕ ПОЛЕ ВНУТРЕННИХ ГРАВИТАЦИОННЫХ ВОЛН, ВОЗБУЖДАЕМЫХ ИСТОЧНИКОМ В ПОТОКЕ СТРАТИФИЦИРОВАННОЙ ЖИДКОСТИ

Рассматривается задача о возбуждении внутренних гравитационных волн (ВВ) источником, находящимся в потоке стратифицированной жидкости с произвольным распределением частоты Брента — Вайсаля  $N^2(z)$ . Поле ВВ на больших расстояниях от источника есть сумма мод, распространяющихся независимо друг от друга [1]. Асимптотики отдельной моды для различных распределений  $N^2(z)$  исследованы в [1—3]. В ближней зоне, когда разделения мод еще не произошло, для получения поля ВВ необходимо суммировать значительное число мод, каждая из которых может иметь определенную особенность, например логарифмическую [4]. Поэтому важно исследовать асимптотику поля ВВ вблизи источника возмущений.

В настоящей работе изучается поле ВВ вблизи источника, построены асимптотики как вертикальной, так и горизонтальной компонент скорости ВВ; проведенные численные расчеты показали хорошее совпадение асимптотического и точного решений на расстояниях, сравнимых с толщиной слоя жидкости, в котором распространяются колебания.

Пусть стратифицированная жидкость течет со скоростью  $V$  в слое  $0 < z < H$ , тогда вертикальная скорость  $w$  ВВ, возбуждаемых источником, включенным в момент времени  $t = 0$  и находящимся в потоке,